

## (مقاله پژوهشی)

## بهینه‌سازی ثبیت آنزیم پکتیناز بر سیلیکا آثروژل و کاربرد آن در استخراج ترکیبات فنلی تفاله انگور

اسماعیل فراموزی‌آق گنبد<sup>۱</sup>، لیلا امیرخانی<sup>۲\*</sup>، سید مهدی هدایت‌زاده<sup>۳</sup>، فهیمه درخشان‌فرد<sup>۴</sup>

۱- دانشجوی دکتری، گروه مهندسی شیمی، واحد اهر، دانشگاه آزاد اسلامی، اهر، ایران.

۲- استادیار، گروه مهندسی شیمی، واحد اهر، دانشگاه آزاد اسلامی، اهر، ایران.

۳- استادیار، گروه مهندسی شیمی، واحد ایلخچی، دانشگاه آزاد اسلامی، ایلخچی، ایران.

تاریخ پذیرش: ۱۴۰۰/۱۲/۲۰

تاریخ دریافت: ۱۴۰۰/۱۰/۱۲

### چکیده

یکی از کاربردهای تجاری آنزیم پکتیناز، پکتین‌زدایی و شفاف‌سازی آب میوه‌ها و استخراج ترکیبات فنلی از میوه‌ها است. ثبیت پکتیناز یکی از روش‌های پایدارسازی آن است که امکان جداسازی آنزیم از واکنش و استفاده مجدد از آن را فراهم ساخته و در نتیجه هزینه استفاده آنزیم در صنعت را کاهش می‌دهد. در این تحقیق آنزیم پکتیناز حاصل از آسپرژیلوس نایجر بر روی سیلیکا آثروژل آبدوست به روش جذب‌سطحی ثبیت گردید. جذب‌سطحی شامل برهمکنش‌های هیدروژنی، آبگریز و واندروالس بین حامل جامد و مولکول‌های جذب شونده‌است و به دلیل سادگی، باقی ماندن فعالیت کاتالیستی بالا و قابلیت استفاده مجدد حامل‌ها بعد از غیرفعال شدن آنزیم‌های ثبیت شده، پتانسیل اقتصادی بالاتری را در مقایسه با سایر روش‌های ثبیت دارد. پایه‌های سیلیکا آثروژل حاوی پکتیناز توسط آزمونهای طیف‌سنجی زیر قرمز تبدیل فوریه و میکروسکوب الکترونی روشنی تعیین خواص شدند. پارامترهای تاثیرگذار در ثبیت آنزیم (زمان ثبیت، نسبت آنزیم به پایه و pH) با استفاده از روش سطح پاسخ مطالعه و کاربرد آنزیم ثبیت شده در استخراج ترکیبات فنلی از تفاله انگور بررسی گردید. نتایج به دست آمده از آزمون‌های تعیین خواص و اندازه‌گیری بازده ثبیت، نشان از ثبیت موثر آنزیم بر پایه سیلیکا آثروژل داشت. شرایط بهینه برای ثبیت، در pH معادل ۵، نسبت آنزیم به پایه معادل ۱/۰ و زمان ۸۹/۲ دقیقه به دست آمد. بازده ثبیت در این شرایط ۷۸/۱ درصد بود. نتایج آزمایشگاهی و مدل‌سازی تفاوت معناداری با هم نداشتند که نشان از کفایت مدل به دست آمده داشت. میزان استخراج ترکیبات فنلی توسط آنزیم پکتیناز ثبیت شده بر پایه سیلیکا آثروژل از تفاله انگور، ۷۸/۷٪ و درصد گیرندگی رادیکال آزاد ۵۵/۷٪، نسبت به حالاتی که تیمار آنزیمی انجام نگرفت، افزایش یافت.

**واژه‌های کلیدی:** ثبیت آنزیم، پکتیناز، سیلیکا آثروژل، تفاله انگور، ترکیبات فنلی.

استفاده‌ی مجددشان، محدود شده است. ثبیت آنژیم بر روی یک پایه، می‌تواند روش مناسبی برای تهیه بیوکاتالیست مناسب در کاربردهای خاص باشد<sup>(۹)</sup>. روش‌های مختلفی مانند به دام اندازی در آثینات، جذب سطحی روی پایه‌های رزینی، آلومینیو نانوذرات سیلیکایی و پیوندهای کووالانسی با پایه‌هایی چون شیشه‌های متخلخل و نایلون برای ثبیت آنژیم پکتیناز مورد استفاده قرار گرفته است. با این حال یافتن پایه‌ها و روش‌های جدید برای ثبیت آنژیم‌ها، اهمیت زیادی در تکنولوژی آنژیم دارد<sup>(۵)،(۲۵)</sup>. پایه‌مناسب برای ثبیت آنژیم باید دارای تخلخل، مساحت سطح و ظرفیت بالا بوده و علاوه بر پایداری مکانیکی و شیمیایی مناسب، طول عمر زیادی نیز داشته باشد<sup>(۱۹)،(۱)</sup>. آثروژل‌ها جزء پیشرفته‌ترین مواد در زمینه علم مواد بوده و به دلیل خواص منحصر به فردشان، کاربردهای تکنولوژیکی متعددی در صنایع مختلف دارند. آثروژل‌های سیلیکایی از شبکه‌ای با پیوندهای عرضی ذرات سیلیکا ساخته شده‌اند<sup>(۲)،(۴)</sup>. این ساختارها موادی با خواص غیر عادی مثل مساحت سطح ویژه بالا (۵۰۰ تا ۱۲۰۰ مترمربع بر گرم)، تخلخل بالا (۸۰ تا ۹۹/۸ درصد)، چگالی پایین (۰/۰۰۲ تا ۰/۰۰۵ گرم بر سانتی متر مکعب)، هدایت حرارتی پایین (۱۰۰ متر بر ثانیه)، شفافیت فوق العاده زیاد (تقریباً ۹۰٪) در ناحیه مرئی، ثابت دی الکتریک بسیار پایین (۱/۰ تا ۲/۰ ک)، و ضریب شکست پایین (تقریباً ۱/۰۵) هستند. سنتر آثروژل‌های سیلیکایی از سال ۱۹۳۰ که اولین بار توسط آفای کیسلر انجام شد تا کنون به تفضیل مورد توجه و بررسی قرار گرفته است<sup>(۱۷)،(۱۱)،(۱۵)</sup>. تولید تجاری آثروژل‌های سیلیکایی و بهره‌برداری گسترده‌از آنها در کاربردهای مختلف به دلیل دو مشکل عمده استفاده‌های پیش‌ماده‌های گران‌قیمت و خطرناک، آلكوكسیدهای سیلیکونی و نیز روش خشک کردن فوق بحرانی محدود می‌شود. خشک کردن فوق بحرانی به دلیل استفاده از اتوکلاوهای گران‌قیمت، خطرناک بوده و مصرف انرژی بالایی داشته و امکان تولید این مواد را به صورت پیوسته محدود می‌کند. استفاده از ماده‌ای ارزان‌قیمت و بی‌خطر سدیم سیلیکات و روش خشک کردن در دما و فشار محیط تحت

## ۱- مقدمه

پکتیناز‌ها(E.C.3.2.1.15)، کاربردهای مهمی در صنایع نساجی، کاغذسازی، دارویی، تصفیه پساب و همچنین شفافسازی و کاهش کدورت آب میوه‌ها و در نتیجه بهبود کیفیت، بازده و قابلیت فیلتراسیون آنها دارند. این آنژیم‌ها، ترکیبات پکتینیکی را از طریق شکستن باند ۴۱-۴۰ گلیکوزیدی بین دو باقیمانده گالاکتورونیک، تجزیه می‌کنند<sup>(۱۰)،(۲۱)،(۲۳)</sup>. همچنین تیمار میوه‌ها با پکتیناز به آزادسازی ترکیبات فلی از پوست میوه کمک می‌کند. این ترکیبات، می‌توانند نقش مهمی به عنوان آنتی‌اکسیدان جهت حفظ سلامتی و پیشگیری از بیماری‌های قلبی و عروقی و انواع سرطان‌ها داشته باشند<sup>(۱۴)</sup>. از آنجا که دیواره سلولی میوه‌ها، از سلولز، همی‌سلولز، پکتین، پروتئین و همچنین ترکیبات فنولی متصل به پلی‌ساکاریدها از طریق باندهای هیدروژنی و آب گریز، تشکیل شده است، آنژیم‌های مختلفی مثل سلولاژ، پکتیناز، همی‌سلولاژ می‌توانند به عنوان عوامل هیدرولیز کننده برای تخریب دیواره سلولی و سهولت آزادسازی ترکیبات فنولی مورد استفاده قرار بگیرند. این آنژیم‌ها همچنین می‌توانند برای افزایش نفوذ دیواره سلولی که منجر به آزادسازی ترکیبات فنولی و افزایش بازده استخراج ترکیبات بیوакتیومی شود، مورد استفاده قرار گیرند. مکانیسم دیگر احتمالاً اثر مستقیم آنژیم در شکستن پیوندهای استری و اتری بین فنول‌ها و دیواره سلولی پلیمری گیاه است. آنژیم‌ها در تحقیقات مختلفی برای استخراج ترکیبات فنولی از گیاهان و میوه‌ها مثل انگور، گوجه‌فرنگی و سیب و... مورد استفاده قرار گرفته‌اند<sup>(۱۶)</sup>. در تحقیقی که توسط فرناندز<sup>۱</sup> و همکارانش در سال ۲۰۱۵ بر روی تاثیر آنژیم‌های پکتیناز، سلولاژ و تانناز بر روی استخراج ترکیبات فنولی از پوست و دانه‌انگور صورت گرفته است، پکتیناز بیشترین تاثیر بر استخراج ترکیبات فنولی داشته و ۲/۵ برابر افزایش در بازده استخراج را در مقایسه با نمونه کنترل نشان داد<sup>(۱۳)</sup>. این حال کاربرد این آنژیم‌ها در صنعت، به دلیل پایداری کم آنها در شرایط عملیاتی مختلف و نیز مشکلات مربوط به بازیابی و

## ۲- مواد و روش‌ها

### ۱-۲- مواد

مواد اولیه به کار رفته در سنتز سیلیکا آثروژل آب‌دوست، شامل سدیم‌سیلیکات با چگالی  $1/۳۵$  گرم بر سانتی‌متر مکعب، هیدورکسید آمونیوم، هگزان‌نرمال، ایزوپروپیل الکل، تری متیل کلروسیلان<sup>۳</sup> (TMCS) و رزین‌های تبادل یونی بودند که همه این مواد از شرکت مرک تهیه شدند. در فرایند تثبیت آنژیم نیز پکتیناز آسپرژیلوس نایجو رو پلی گالاکتورونیک اسید از شرکت سیگما آلدربیج و<sup>۴</sup> اوهدی نیتروسالیسیک اسید و سدیم استات از شرکت مرک خریداری گردید.

### ۲-تجهیزات و آزمون‌ها

آثروژل‌های سیلیکایی در ظروف تلفونی سنتز شدند. این ظروف در بارگیر قابل نفوذ به هوا بوده و از خروج حلال‌ها و عوامل اصلاح کننده سطح جلوگیری کرده و برای انجام مراحل مختلف سنتز به کار رفته‌اند (شکل ۱). در کلیه مراحل سنتز، در ب این ظروف به منظور جلوگیری از خروج بخارات و خشک شدن سطح ژل، توسط پیچ‌های تعییه شده در قسمت بالای آن کاملاً بسته شد. به منظور تامین درجه حرارت واکنش‌ها در دمای مشخص و نیز به منظور خشک کردن ژل‌ها بعد از انجام مراحل واکنش از آون استفاده گردید. از کوره الکتریکی (شرکت شیماز، ساخت کشور ایران) به منظور کلیسینه کردن و حرارت دادن نمونه‌ها در دمای pH بالا استفاده شد. برای تنظیم و کنترل pH محلول سل از pH متر (Hanna pH meter, checker, HI98103) و برای رقیق کردن و انجام تبادل یونی و افزودن یکنواخت کاتالیست به مخلوط واکنش، از همزن مغناطیسی (Stuart Scientific، ساخت انگلستان) استفاده شد. برای تعیین مساحت سطح ویژه، حجم و توزیع اندازه حفرات از آنالیز جذب و دفع نیتروژن توسط دستگاه BEL Sorp-II mini با ساخت کشور ژاپن استفاده شد. آنالیز میکروسکوپی الکترونی روبشی با وضوح بالا با استفاده از دستگاه Mira 3-XMU، Tescan USA Inc.) FESEM

شرایط خاص، هزینه‌های مربوط به سنتز این مواد تا حد قابل توجهی پایین می‌آورد (۲۰). در سال‌های اخیر تحقیقاتی در خصوص تثبیت آنژیم‌ها بر پایه سیلیکا آثروژل انجام شده است. در این تحقیقات، آنژیم لیپاز با منابع مختلف بر روی آثروژل‌های سیلیکایی و کامپوزیت‌های آن‌ها به روش کپسوله کردن تثبیت شده است. آثروژل‌های مورد استفاده با مواد اولیه مختلف سنتز و به روش فوق بحرانی خشک شدند. در این کارها، اثر پارامترهای مختلف از قبیل نوع ماده اولیه، آب‌دوستی یا آب‌گریزی پایه، ساختار حفرات، پیرسازی<sup>۱</sup> در حلال‌های مختلف، نوع فرایند خشک کردن و نیز پارامترهای تاثیرگذار در واکنش‌های هیدرولیز، استریفیکاسیون و ترانس استریفیکاسیون<sup>۲</sup> بر فعالیت آنژیم لیپاز بررسی شده است (۶، ۷، ۲۴). در کارهای تحقیقاتی انجام شده ثابت شده است که نه مرحله ژلاسیون و نه مرحله خشک کردن فوق بحرانی تاثیرگذار در آنژیم کپسوله شده در سیلیکا آثروژل ندارند. لیپاز پخش شده در ماتریس جامد آثروژل تمایل کمی برای تجمع نسبت به لیپاز آزاد داشته به همین دلیل مقدار سایت‌های در دسترس برای آنژیم بالا بوده و فعالیت آنژیم در حالت تثبیت شده حتی در برخی موارد بالاتر از آنژیم آزاد بود (۱۸، ۲۲). در تحقیقی که توسط امیرخانی و همکارانش در خصوص تثبیت آنژیم لیپاز بر روی پایه سیلیکا آثروژل مغناطیسی سنتز شده در دما و فشار محیط، انجام شد، پتانسیل بالای این پایه‌ها در حفظ فعالیت اولیه آنژیم و قابلیت بالای جداسازی و استفاده مجدد آن‌ها از محیط واکنش نشان داده شد.<sup>(۳)</sup> در این تحقیق بعد از سنتز آثروژل‌های سیلیکایی آبدوست در شرایط دما و فشار محیط با استفاده از ماده ارزان قیمت سدیم سیلیکات، بهینه‌سازی تثبیت آنژیم پکتیناز بر روی این پایه به روش جذب سطحی انجام شد و پس از تعیین خواص، این بیوکاتالیست‌ها در استخراج ترکیبات فلزی از تفاله انگور، مورد استفاده قرار گرفتند.

1-Aging

2- Transesterification

محدوده طول موج ۴۰۰ nm – ۴۰۰۰ مطالعه شد. برای خشک کردن نمونه‌های تفاله انگور، آون تحت خلا (Lab Tech، ساخت کشور کره جنوبی) استفاده شد.

انجام گرفت. گروه‌های عاملی موجود در نانو کامپوزیت‌ها با استفاده از آنالیز طیف‌سنجی زیر قرمز تبدیل فوریه (FTIR) (Philips 9800, from Philips, Netherlands) در PU

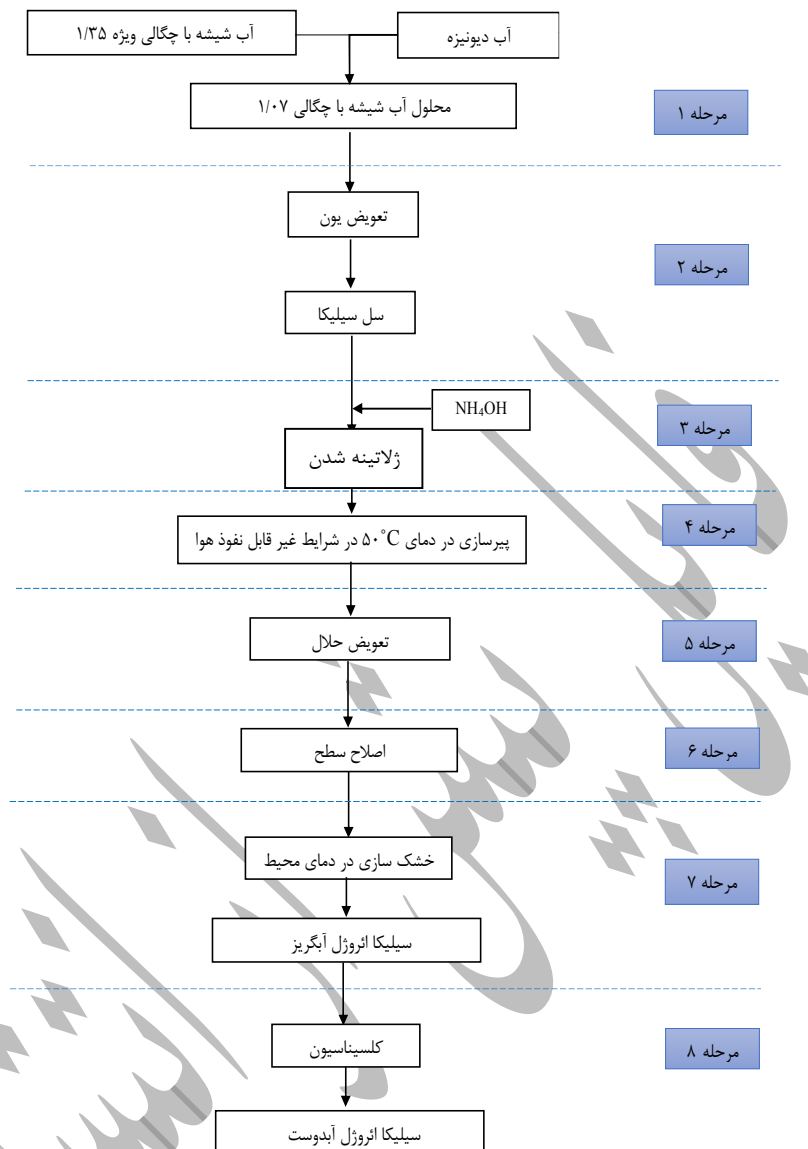


شکل ۱- ظروف تفلونی سنتز سیلیکا آثروژل

سانتی گراد به مدت ۱۸۰ دقیقه نگه داشته می‌شود تا در مرحله پیرسازی شبکه سیلیکایی تقویت شود (مرحله ۴). در مرحله پنجم آب موجود در حفرات ژل با ایزوپروپیل الکل و نرمال هگزان تعویض می‌شود. این کار با قرار دادن ژل‌ها در هر کدام از محلول‌ها به مدت ۱۸ ساعت و در دمای ۵۰ درجه سانتی‌گراد، انجام می‌شود. بعد از تعویض حلال و تخلیه حلال‌های اضافی، ژل‌های خیس، در محلول اصلاح سطح که شامل تری‌متیل کلروسیلان و هگزان با نسبت حجمی ۱ به ۴ می‌باشد، به مدت ۱۲ ساعت در دمای ۵۰ درجه سانتی گراد، غوطه ور می‌شوند. در مرحله پایانی ژل‌های اصلاح سطح شده در دمای محیط به مدت ۲۴ ساعت و سپس به ترتیب در هر کدام از دماهای ۵۰، ۴۰ و ۲۰ درجه سانتی گراد، به مدت ۲ ساعت خشک می‌شوند. به منظور تولید سیلیکا آثروژل آب‌دست عملیات کلسینه کردن، با حرارت دادن نمونه‌هادر کوره الکتریکی، در دمای ۵۰ درجه سانتی‌گراد، به مدت ۲ ساعت انجام می‌گردد.

### ۳-۲- روش سنتز سیلیکا آثروژل آب‌دست

سنتز سیلیکا آثروژل خالص آب‌دست با استفاده از ماده اولیه سدیم سیلیکات و خشک کردن در دما و فشار محیط شامل هفت مرحله می‌باشد (شکل ۲). در مرحله اول، محلول سدیم سیلیکات با چگالی ۱/۳۵ با آب دیونیزه به نسبت ۱ به ۴ رقیق می‌شود تا به چگالی ۱/۰۷ برسد. در مرحله دوم به منظور حذف یون‌های  $\text{Na}^+$ ، از رزین‌های تبادل یونی با نسبت حجمی مساوی به محلول سدیم سیلیکات رقیق شده اضافه گردید. محلول خالص و رزین‌های تبادل یونی توسط همزن مغناطیسی به مدت ۳ دقیقه و رزین‌های تبادل یونی با نسبت ۱/۰۰۰ دور بر دقیقه مخلوط شدند. بعد از تشکیل سیلیسیک اسید با pH در حدود ۲، محلول هیدروکسید آمونیوم (۱/۰ مولار)، به محلول اضافه می‌شود تا pH آن به منظور انجام ژلاتینه شدن به ۴ افزایش پیدا کند. سل سیلیکایی بدست آمده سریعاً به ظروف تفلونی انتقال پیدا کرده و در مرحله سوم هیدروژل تشکیل می‌گردد. ژل تشکیل شده در آون در دمای ۵۰ درجه



## شکل ۲- مراحل سنتز سیلیکا آثروژل آب دوست

۲-۴- تثییت پکتیناز

برای تثیت پکتیناز، ۱۰ میلی لیتر محلول پکتیناز (۱۰ میلی گرم بر میلی لیتر دریافر سدیم استات ۵۰ میلی مولار) با مقدار مشخص پایه سیلیکا آثر ورژل و در زمان معین، بر اساس طراحی آزمایش، مخلوط شد تا فرآیند جذب کامل شود. تثیت در دمای محیط و سرعت هم زدن ۵۰۰ دور در دقیقه انجام شد. پس از آن، سوپانسیون فیلتر گردید تا پایه ها با پکتیناز تثیت شده جدا شود. پایه های جدا شده با بافر فضفatas شسته شدند تا آنزیم جذب نشده

۳-۵- بازدھ تھیت

در صد یازده تشتیت از معادله ۱ محاسبه می‌شود:

**مثلاً يوشنت شت شه - مثلاً يوشنت شت شه**  
**مثلاً يوشنت شت شه - مثلاً يوشنت شت شه**

آزمایش‌ها، دیزاین اکسپر نسخه ۱۳ بود. در تثیت آنزیم پکتیناز، اثر پارامترهای زمان تثیت، نسبت آنزیم به پایه و pH، بر بازده جذب آنزیم تثیت شده مورد مطالعه قرار گرفت. جهت یافتن محدوده بهینه، یک سری آزمایشات اولیه به منظور بررسی اثر پارامترهای تاثیرگذار بر شرایط تثیت آنزیم انجام شد و با توجه به این آزمایشات اولیه، محدوده پارامترها و سطوح آن‌ها تعیین شد که مطابق جدول ۱ بود.

#### ۶-۲- طراحی آزمایش، بهینه‌یابی و آنالیز آماری

برای تثیت آنزیم پکتیناز بر پایه‌های سیلیکا آتروژل، از طرح مرکب مرکزی<sup>۱</sup> (CCD) سه فاکتوری، با شش نقطه محوری ( $\alpha=2$ )، هشت نقطه مکعب و شش نقطه مرکزی، مجموعاً مشتمل بر ۲۰ آزمایش استفاده شد. روش سطح پاسخ<sup>۲</sup> (RSM)، برای تخمین اثرات متغیرهای مستقل بر متغیرهای پاسخ یعنی بازده جذب آنزیم تثیت شده استفاده شد. نرم‌افزار مورد استفاده برای طراحی

جدول ۱- متغیرهای مستقل و سطوح آنها در تثیت آنزیم

متغیرها	فاکتور	واحد	سطح بالای محوری (+ $\alpha$ )	سطح بالای محوری (- $\alpha$ )	سطح مرکزی (۰)	سطح پایین فاکتوریل (-۱)	سطح پایین فاکتوریل (۱)	محوری (- $\alpha$ )
pH	$x_1$	-	۶	۵/۵	۵	۴/۵	۴/۰	۴
نسبت آنزیم به پایه	$x_2$	(W/W)	۰/۱۹۵	۰/۱۵	۰/۱۰۵	۰/۰۶	۰/۰۱۵	۰/۰۱۵
زمان تثیت	$x_3$	دقیقه	۱۰۰	۱۲۰	۹۰	۶۰	۴۵	۳۰

جذب نمونه در دستگاه در ۷۵۰ نانومتر توسط دستگاه اسپکتروفوتومتر قرائت گردید. نتایج برسی میلی گرم اسید گالیک موجود در ۱۰۰ میلی لیتر محلول استخراجی گزارش گردید. جهت رسم منحنی استاندارد از رقت‌های ۷۰۰- ۱۰۰ میلی گرم بر لیتر اسید گالیک استاندارد استفاده شد.(۸).

**۲-۱۰- اندازه‌گیری درصد گیرندگی رادیکال آزاد**  
به منظور اندازه‌گیری درصد گیرندگی رادیکال آزاد نمونه‌ها با دستگاه اسپکتروفوتومتر، محلول ۲-۲-دی‌فیل-۱-پیکریل‌هیدرازیل<sup>۱</sup> (DPPH) با غلظت ۱/۰ میلی مولار را حل کردن ۳/۹ میلی گرم DPPH در ۱۰۰ میلی لیتر متانول تهیه شد. محلول برای تکمیل واکنش به مدت نیم ساعت در تاریکی نگه داشته شد. ۲ میلی لیتر از نمونه با ۲ میلی لیتر از محلول DPPH مخلوط شد. این محلول به شدت تکان داده شده و در تاریکی به مدت نیم ساعت دیگر انکوبه شد. جذب محلول در طول موج ۵۱۷ نانومتر با دستگاه اسپکتروفوتومتر اندازه گیری شد(۲۷). درصد گیرندگی رادیکال از رابطه ۲ بدست می‌آید.

$$\text{رابطه (۲)} \quad 100 \times A_S/A_C = \text{درصد گیرندگی رادیکال آزاد}$$

در این رابطه  $A_C$  و  $A_S$  به ترتیب جذب نمونه و جذب شاهد می‌باشد.

### ۳- نتایج و بحث

**۳-۱- خواص فیزیکوشیمیایی پایه و پکتیناز تثیت شده**  
شکل ۳ تصاویر میکروسکوپ الکترونی روبشی سیلیکا آثروژل آبدوست را قبل و بعد از تثیت آنزیم پکتیناز نشان می‌دهد. اشکال میکروسکوپ الکترونی روبشی نشان می‌دهد که اندازه منافذ و میزان تخلخل پایه به دلیل ایجاد برخی پیوندها، پس از جذب پکتیناز کاهش یافته است. از سوی دیگر، پس از تثیت، یک لایه از آنزیم ممکن است سطح تکیه گاهها را پوشاند و تخلخل را کاهش دهد.

### ۴- آماده‌سازی نمونه‌های تفاله انگور

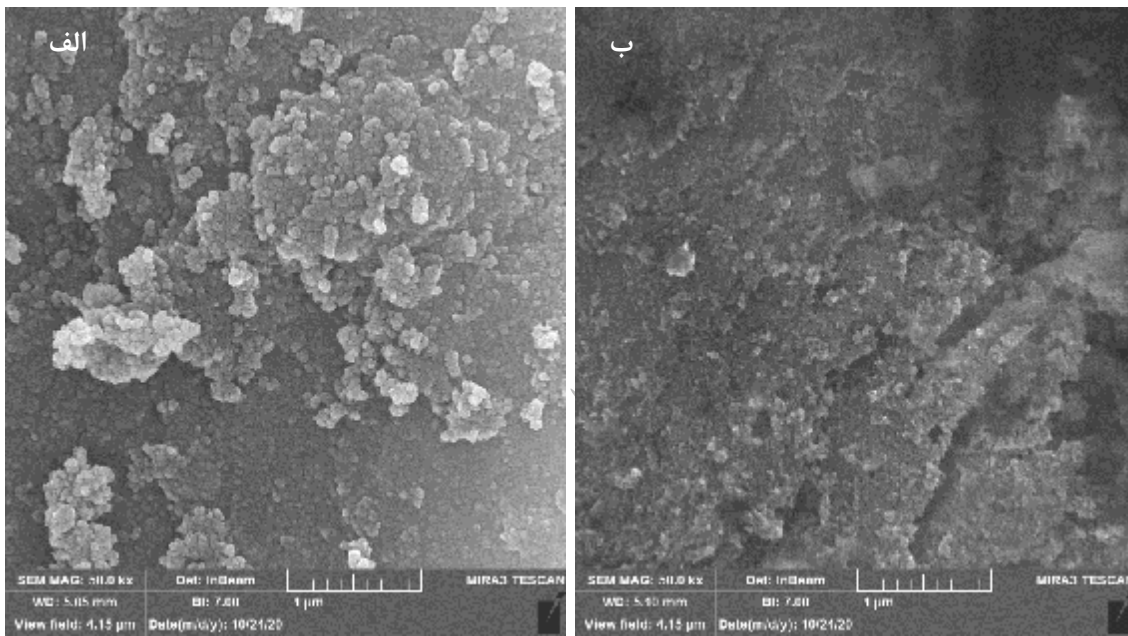
نمونه‌های تفاله انگور قرمز (گونه‌انگور قرمز سردشت) از کارخانه پاکدیس در شهرستان ارومیه به صورت تازه تهیه شد و در آزمایشگاه در داخل فریزر در دمای -۱۸- درجه سانتی گراد نگهداری تا در زمان مناسب آزمایش‌ها بر روی آن صورت پذیرد. در هنگام شروع آزمایش‌ها نمونه‌ها با استفاده از دستگاه آون تحت خلا در دمای ۴۵ درجه سانتی گراد و مدت ۴-۶ ساعت، خشک شده و پس از خشک شدن، توسط خرد کن بر قی به دقت خرد شد و برای یکنواخت کردن اندازه ذرات، با الک مش ۸۰ الک گردید. پس از آسیاب کردن مجدداً نمونه‌ها به داخل فریزر منتقل شدند تا ترکیبات فنلی موجود در نمونه‌ها دچار آسیب نشوند.

### ۵- تیمار آنزیمی

برای رهایش ترکیبات فنلی از تفاله انگور، یک گرم از نمونه خرد شده تفاله انگور با ۵۰ میلی گرم از آنزیم تثیت شده در ۱۰ میلی لیتر با فرسیدیم استات ۱/۰ مولار (pH=۵) در دمای ۳۵ درجه سانتی گراد به مدت ۲۴ ساعت تحت اختلاط همزن با سرعت ۱۰۰ دور بر دقیقه انکوبه شد. بعد از ۲۴ ساعت نمونه‌ها با سرعت ۳۵۰۰ دور بر دقیقه به مدت ۱۰ دقیقه سانتریفیوژ شدند. محلول رویی جمع آوری و فیلتر گردید و مورد آنالیز قرار گرفت. به دلیل اختلاف چگالی تفاله انگور و پایه‌های حاوی آنزیم تثیت شده، با دادن زمان لازم برای تهییت تفاله انگور، جداسازی آنزیم تثیت شده جهت استفاده مجدد آن، امکان- پذیر شد(۸). برای تهیه نمونه شاهد تمام مراحل ذکر شده، بدون افزودن آنزیم تثیت شده انجام شد.

### ۶- تعیین مقدار ترکیبات فنلی

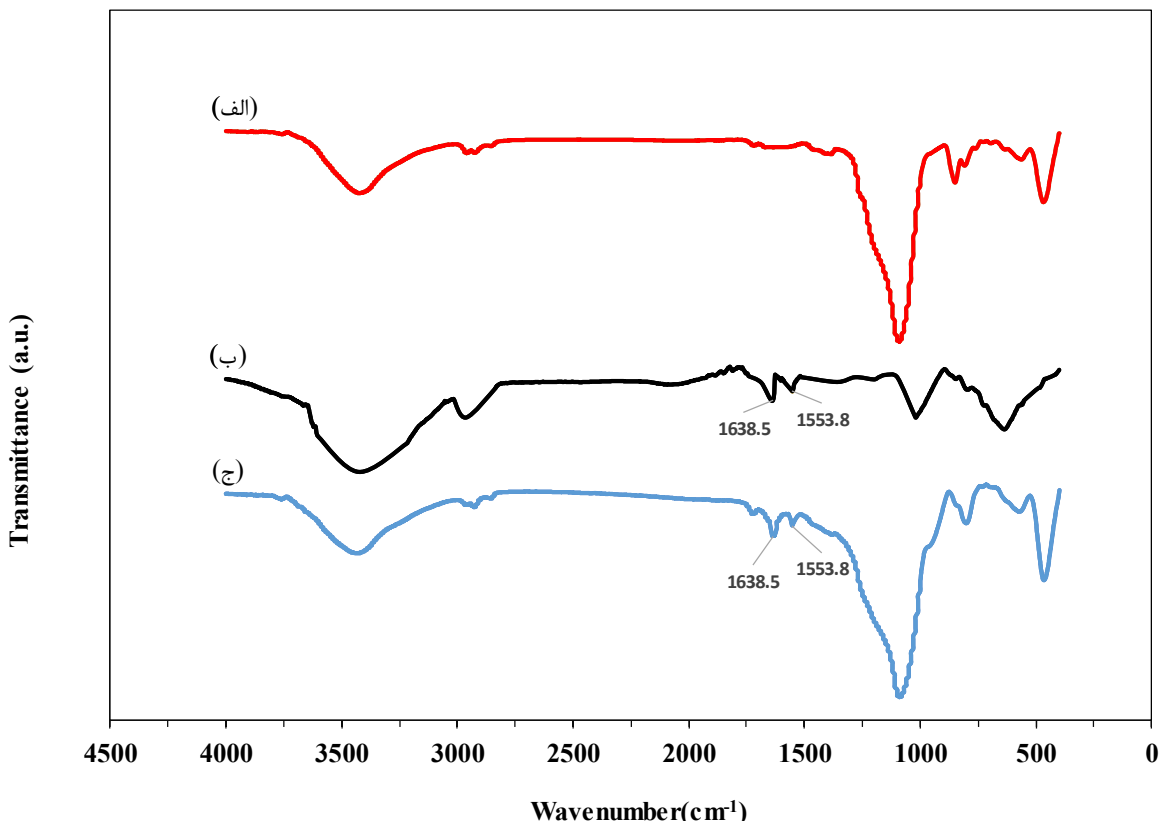
غلظت ترکیبات فنلی با استفاده از روش فولین- سیوکالتیو<sup>۱</sup> اندازه گیری شد. به این ترتیب که مقدار ۰/۵ میلی لیتر از محلول استخراجی را با ۰/۵ میلی لیتر واکنشگر فولین سیوکالتیو و ۱۰ میلی لیتر کربنات سدیم ۱ مولار مخلوط کرده و بعد از یک ساعت،



شکل ۳- تصاویر میکروسکوپ الکترونی روبشی سیلیکا آئروژل آب‌دست (الف) قبل و (ب) بعد از ثبیت آنزیم پکتیناز

هیدرکسیل بر روی پایه‌ها، اتصال سطحی آنزیم به پایه و بازده ثبیت و تمایل آنزیم به بیومولکول‌ها را افزایش می‌دهد (۲۸). همچنین نتایج آنالیز طیف سنجی زیر قرمز تبدیل فوریه تایید می‌کند که بعد از ثبیت آنزیم پکتیناز گروه‌های آمینی تشکیل شده است. آنزیم پکتیناز دو باند مشخصه در  $1553\text{--}8\text{ cm}^{-1}$  و  $1638\text{--}5\text{ cm}^{-1}$  دارد، که مربوط به گروه‌های آمین نوع اول و دوم است. این پیک‌ها در پایه بعد از ثبیت پکتیناز قابل مشاهده است. این امر دلالت بر جذب آنزیم پکتیناز در این پایه‌ها دارد. نتایج مشابهی در تعیین خواص فیزیکوشیمیایی پایه و آنزیم ثبیت شده در تحقیقات انجام گرفته در خصوص ثبیت آنزیم لیپاز بر روی پایه سیلیکا آئروژل مغناطیسی به دست آمده است (۲).

آنالیز طیف سنجی زیر قرمز تبدیل فوریه برای تایید جذب پکتیناز بروی سیلیکا آئروژل آب‌دست استفاده شد. شکل ۴ طیف سنجی زیر قرمز تبدیل فوریه پایه را قبل و بعد از ثبیت آنزیم نشان می‌دهد. در هر دو طیف، یک پیک پهن در حدود  $3450\text{ cm}^{-1}$  وجود داشت که نشان‌دهنده وجود گروه‌های O-H و آب‌دست بودن پایه بود. در مراحل سنتز سیلیکا آئروژل به روش خشک کردن در دما و فشار محیط، پایه‌های سنتز شده خاصیت آب‌گریزی دارند که محیط مناسبی برای ثبیت و عملکرد آنزیم پکتیناز نمی‌باشد. از این رو در مرحله نهایی سنتز پایه‌ها، آنها در دمای  $50^{\circ}\text{C}$  درجه سانتی گراد به مدت دو ساعت کلسینه شدند تا خاصیت آب‌دستی پیدا کنند. وجود گروه‌های هیدروکسیل در آنالیز طیف سنجی زیر قرمز تبدیل فوریه، آب‌دست شدن پایه‌هارا تایید کرد. وجود گروه‌های عاملی



شکل ۴- طیف سنجی زیر قرمز تبدیل فوریه پایه‌ها قبل و بعد از تثیت پکتیناز: (الف) سیلیکا آئروژل آب دوست (ب) آنزیم پکتیناز (ج) سیلیکا آئروژل آب دوست - پکتیناز

بیشتریک عبارت بر متغیرهای پاسخ مورد مطالعه است. مدل‌های کاهش یافته بعد از حذف عبارت‌های کم‌همیت بدست آمد. نتایج دلالت بر آن داشت که در مورد این پایه‌ها، ضریب تعیین ( $R^2$ ) مدل برای پاسخ درصد تثیت آنزیم ۰/۹۴۳۶ بود (جدول ۳). مقادیر بالای  $R^2$  بدست آمده، مناسب بودن مدل پیشنهادی برای پیش‌بینی مقدار بازده تثیت با استفاده از این روش را تایید کرد. علاوه بر این بالابودن مقادیر F برای مدل پیشنهادی، مناسب بودن مدل را تایید کرد.

**۲-۲-۳- برآذش مدل سطح پاسخ**  
به منظور بهینه‌سازی شرایط تثیت آنزیم، تاثیر سه فاکتور pH، نسبت آنزیم به پایه و زمان تثیت در ۵ سطح با استفاده از روش سطح پاسخ بر بازده تثیت مطالعه شد. با توجه به سه فاکتور اصلی در نظر گرفته شده، نرم افزار ۲۰ آزمایش طراحی کرد که نتایج آزمایشگاهی بدست آمده برای بازده تثیت آنزیم به عنوان پاسخ، بر اساس طرح مرکب مرکزی در جدول ۲ نشان داده شده است. معادله ۳ برای برآذش داده‌ها مورد استفاده قرار گرفت.

**۳-۳- آنالیز سطوح پاسخ**  
همان طور که در جدول ۲ نیز مشخص است، بازده تثیت از ۵۸ تا ۷۹ درصد تغییر می‌کند. جدول ۳ نشان می‌دهد که در بین عبارت‌های خطی، نسبت آنزیم به پایه و عبارت‌های درجه دوم تمام متغیرهای مستقل اثر معناداری ( $p < 0.05$ ) بر بازده تثیت

$$Y = a_0 + \sum_{i=1}^n a_i x_i + \sum_{i=1}^n a_{ii} x_i^2 + \sum_{i,j=1}^n a_{ij} x_i x_j$$

ضرایب رگرسیون تخمینی برای مدل‌نهایی کاهش یافته و همچنین اهمیت رگرسیون‌ها در جدول ۳ آمده است. باید توجه شود که مقادیر پایین شاخص R<sup>2</sup> و نسبت‌های بالای F نشان‌دهنده اهمیت

نمودار کاتنور دو بعدی و سطح پاسخ سه بعدی نشان داده شده است. حضور اینها در این شکل تایید می‌کند که تغییر مقدار بازده ثبت به صورت یکتابع غیرخطی وابسته به pH و زمان است. همان طور که از این شکل مشخص است در زمان ثابت با افزایش pH (تا محدوده pH معادل ۵)، بازده ثبت به طور چشمگیری افزایش می‌یابد. این افزایش در زمان‌های میانی، قوی تراست. این نتایج با مقادیر نتایج آزمایشگاهی جدول ۲ در تطابق است. همچنین این نتیجه با نتایج بدست آمده در تحقیقی که آنزیم لیاز را بر روی پایه‌های بر پایه سیلیکا ثبت کرده‌اند در توافق است (۳). از شکل ۵ می‌توان نتیجه گرفت که افزایش زمان‌های بالاتر از ۹۰ دقیقه منجر به کاهش فعالیت آنزیم می‌شود. وقتی نسبت آنزیم به پایه افزایش پیدا می‌کند بازده ثبت هم افزایش می‌یابد، ولی بعد از مقادیر میانی به دلیل اشیاع شدن سایتها متخلف و عدم جذب آنزیم بیشتر، بازده ثبت کاهش پیدا می‌کند.

آنژیم ثبت شده‌دارند. نتایج جدول ۳ نشان می‌دهد که عبارت‌های درجه دوم متغیرهای مستقل، به دلیل بالا بودن مقادیر F، بیشترین اهمیت و اثر را بر بازده آنزیم ثبت شده دارند. همچنین نتایج به دست آمده برای ضرایب رگرسیون نشان می‌دهد که پارامترهای اصلی اثر مثبت بر بازده ثبت دارند. این امر بدان معناست که در مقادیر  $x_2 < 10.5$ ، با افزایش نسبت آنزیم به پایه، بازده ثبت افزایش می‌یابد. نتایج عکس برای اثرات همه متغیرهای مستقل در سطوح بالایی برای بازده ثبت آنزیم به دست آمد. همان طور که از جدول ۳ مشخص است همه پارامترهای درجه دوم دارای ضرایب رگرسیون منفی هستند. از طرفی به غیر از اثر برهمکنش بین نسبت زمان ثبت و pH، سایر برهمکنش‌ها، اثرات معناداری بر روی بازده ثبت آنزیم ندارند. شکل ۵ اثر برهمکنش پارامترهای بازده ثبت، نشان می‌دهد. اثر درصدهای مختلف pH و زمان ثبت بر فعالیت ویژه آنزیم ثبت یافته (در نسبت آنزیم به پایه معادل ۱۰.۵) در شکل ۵ به صورت

جدول ۲- آزمایش‌های طراحی شده از روش طرح مرکب مرکزی برای ثبت آنزیم بر روی پایه‌های سیلیکا آتروژل آبدوست و نتایج آزمایشگاهی و

پیش‌بینی شده

آزمایشگاهی	پیش‌بینی شده	آزمایشگاهی	پیش‌بینی شده	زمان ثبت (دقیقه)	نسبت آنزیم به پایه (w/w)	pH	نمودار آزمایش
۶۷/۳	۶۶	۶۰	۶۰	۰/۰۶	۴/۵	۱	
۶۷/۸۶	۷۰	۶۰	۶۰	۰/۰۶	۵/۵	۲	
۶۰/۱	۵۸	۶۰	۶۰	۰/۱۵	۴/۰	۳	
۶۷/۳۳	۶۶	۶۰	۶۰	۰/۱۵	۵/۵	۴	
۶۹/۲۱	۷۷	۱۲۰	۱۲۰	۰/۰۶	۴/۵	۵	
۶۶۳۳	۶۵	۱۲۰	۱۲۰	۰/۰۶	۵/۵	۶	
۶۷/۰۸	۷۷	۱۲۰	۱۲۰	۰/۱۵	۴/۵	۷	
۶۷/۷۱	۶۶	۱۲۰	۱۲۰	۰/۱۵	۵/۵	۸	
۵۷/۱۰	۵۹	۹۰	۹۰	۰/۱۰۵	۴	۹	
۶۱/۳۵	۶۳	۹۰	۹۰	۰/۱۰۵	۶	۱۰	
۷۱/۰۵	۷۰	۹۰	۹۰	۰/۰۵	۵	۱۱	
۶۱/۶۰	۶۳	۹۰	۹۰	۰/۱۹۵	۵	۱۲	
۶۶/۸۵	۶۹	۳۰	۳۰	۰/۱۰۵	۵	۱۳	
۷۷/۶۰	۷۰	۱۵۰	۱۵۰	۰/۱۰۵	۵	۱۴	
۷۷/۹۱	۷۸	۹۰	۹۰	۰/۱۰۵	۵	۱۵	
۷۷/۹۱	۷۹	۹۰	۹۰	۰/۱۰۵	۵	۱۶	
۷۷/۹۱	۷۸	۹۰	۹۰	۰/۱۰۵	۵	۱۷	
۷۷/۹۱	۷۸	۹۰	۹۰	۰/۱۰۵	۵	۱۸	
۷۷/۹۱	۷۹	۹۰	۹۰	۰/۱۰۵	۵	۱۹	
۷۷/۹۱	۷۹	۹۰	۹۰	۰/۱۰۵	۵	۲۰	

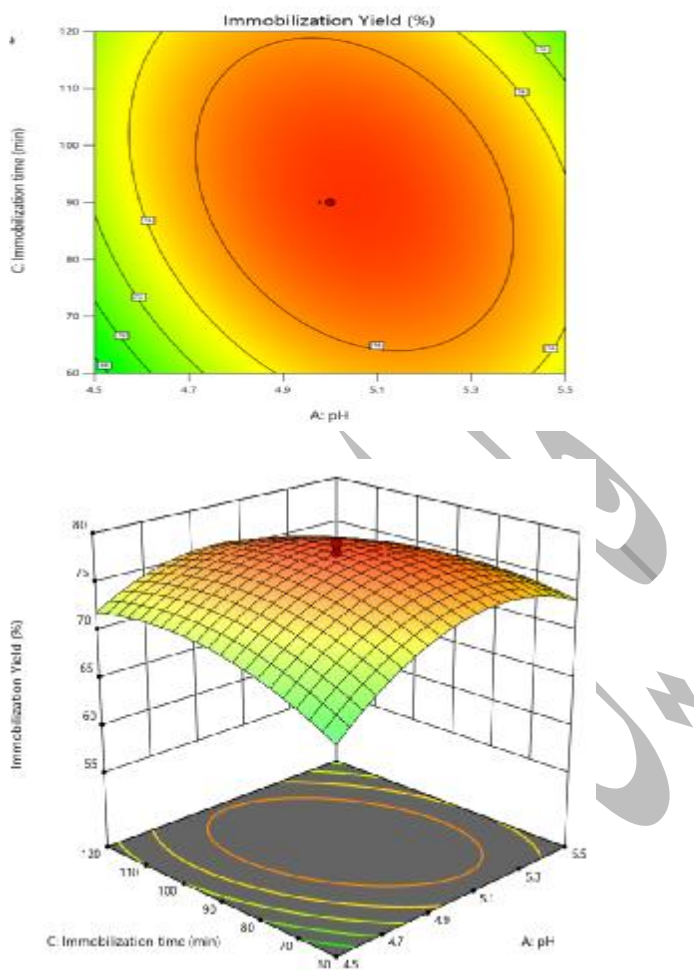
جدول ۳- احتمال اهمیت (شاخص P)، نسبت آنژیم (F)، ضرایب رگرسیون،  $R^2$  و تعديل شده برای مدل تثیت آنژیم بر روی پایه سیلیکا آثروژل آب‌دوست

	ضرایب رگرسیون	بازده تثیت (%)	متغیرها	پارامترها	
				شاخص P	F
-۴۶۸/۵۷	a <sub>0</sub>				
۱۹۷/۲۷۶	a <sub>1</sub>	۰/۰۸۶۳	۳/۶۲	X <sub>1</sub>	اصلی
۵۹/۸۰۶	a <sub>2</sub>	۰/۰۱۸۹	۷/۸۳	X <sub>2</sub>	
۱/۰۲۲	a <sub>3</sub>	۰/۴۰۱۶	۰/۶۱۳۷	X <sub>3</sub>	
-۱۸/۶۸۲	a <sub>11</sub>	<۰/۰۰۰۱	۱۰۹/۹	X <sub>1</sub> <sup>2</sup>	درجه دوم
-۱۶۲۷/۳۸۵	a <sub>22</sub>	<۰/۰۰۰۱	۵۴/۷۲	X <sub>2</sub> <sup>2</sup>	
-۰/۰۰۲۸۳	a <sub>33</sub>	۰/۰۰۰۲	۳۲/۶۴	X <sub>3</sub> <sup>2</sup>	
۲۷/۷۷۸	a <sub>12</sub>	۰/۴۴۷۱	۰/۶۲۶۲	X <sub>12</sub>	برهمکنش
-۰/۱۲۵	a <sub>13</sub>	۰/۰۳۹	۵/۶۴	X <sub>13</sub>	
۱/۲۰۴	a <sub>23</sub>	۰/۰۶۶۷	۴/۲۳	X <sub>23</sub>	
		<۰/۰۰۰۱	۱۸/۵۹		رگرسیون
			۰/۹۴۳۶		$R^2$
			۰/۸۹۲۹		$R^2$ adjusted

بیشترین مقدار بازده تثیت پیش‌بینی شده توسط مدل در این شرایط ۷۸/۱۴ بود. شرایط بهینه با استفاده از تست آزمایشگاهی  $77 \pm 0/5$  تایید شد و در تطابق خوبی با نتایج پیش‌بینی شده بود که بر این امر دلالت داشت که مدل بدست آمده از روش سطح پاسخ به خوبی رابطه بین فاکتورها و پاسخ را در تثیت آنژیم پکتیناز توصیف می‌کند.

#### ۴-۳- بهینه‌یابی و تایید شرایط تثیت

زمانی مقدار نسبت آنژیم به پایه، زمان و pH می‌تواند بهینه شود که مقدار بازده تثیت آنژیم، حداقل‌گردد. بهینه‌یابی عددی برای یافتن سطوح بهینه دقیق متغیرهای مورد مطالعه، استفاده شد. شرایط بهینه تثیت به صورت مقابل بدست آمد:  $0/1$  نسبت آنژیم به پایه،  $89/2$  دقیقه زمان واکنش و pH معادل  $5$ .



شکل ۵- نمودار کانتور دوبعدی و سطح پاسخ سه بعدی تغییرات میزان بازده ثبیت با pH و زمان ثبیت

گیرندگی رادیکال آزاد، بدون تیمار و بعد از تیمار آنزیم پکتیناز مقایسه گردید. جدول ۴ میزان ترکیبات فنلی و درصد گیرندگی رادیکال آزاد تفاله انگور را بدون تیمار آنزیمی و بعد از تیمار آنزیمی نشان میدهد. آزادسازی ترکیبات فنلی، افزایش معنی داری ( $p < 0.05$ ) را بعد از تیمار آنزیمی نشان داد. بعد از تیمار آنزیمی محلول حاوی تفاله انگور، میزان استخراج ترکیبات فنلی ۷۸/۷٪ و درصد گیرندگی رادیکال آزاد ۵۵/۷٪، نسبت به حالتی که تیمار آنزیمی انجام نگرفت، افزایش یافت.

**۳-۵- میزان فنل کل و درصد گیرندگی رادیکال آزاد**  
به منظور استخراج ترکیبات فنلی میوه‌ها، روش‌های مختلفی بر پایه استخراج با حللاهای آلی مضر و سمی وجود دارد. در حالی که استخراج با آنزیم یک روش استخراج سبز می‌باشد. این روش توسط محققین دیگر برای استخراج ترکیبات فنلی دانه انگور مورد استفاده قرار گرفته است (۲۶). به منظور بررسی عملکرد آنزیم ثبیت شده بر آزادسازی ترکیبات فنلی، تفاله انگور توسط این بیوکاتالیست تیمار گردیده و میزان فنل کل و درصد

جدول ۴- میزان ترکیبات فنلی و درصد گیرندگی رادیکال آزاد تفاله انگور قبل و بعد از تیمار آنزیمی

بدون تیمار آنزیمی	بعد از تیمار با آنزیم تثیت شده پکتیناز	درصد گیرندگی رادیکال آزاد (DPPH)
$135/1 \pm 5/9^b$	$75/6 \pm 4/6^a$	میزان فنل کل (میلی گرم اسید گالیک بر ۱۰۰ میلی لیتر محلول)
$71/3 \pm 3/2^b$	$45/8 \pm 2/5^a$	*حروف مقاومت در هر ردیف بینگرد مقاومت معنادار بین مقادیر می‌باشد ( $p < 0.05$ )

با استفاده از روش سطح پاسخ مطالعه گردید. شرایط بهینه برای تثیت، در pH معادل ۵، نسبت آنزیم به پایه معادل ۱/۰ و زمان ۷۸/۱ ۸۹/۲ دقیقه به دست آمد. بازده تثیت در این شرایط درصد بود. تفاله انگور منع ارزان قیمتی از ترکیبات فنلی است که می‌تواند مزایای اقتصادی مهمی را ایجاد کند. کاربرد آنزیم تثیت شده در استخراج ترکیبات فنلی از تفاله انگور بررسی گردید. میزان استخراج ترکیبات فنلی و درصد گیرندگی رادیکال آزاد بعد از تیمار با آنزیم به طور معناداری ( $p < 0.05$ ) بهبود پیدا کرد. نتایج نشان می‌دهد استفاده از آنزیم پکتیناز تثیت شده بر روی سیلیکا آثروژل، جهت استخراج ترکیبات فنلی در صنعت آب میوه، می‌تواند امیدوار کننده باشد.

#### ۵- منابع

1. Alagöz, D., Tükel S.S. and Yıldırım, D., 2016. Immobilization of pectinase on silica-based supports: Impacts of particle size and spacer arm on the activity. *International Journal of Biological Macromolecules*, 87, pp. 426–432.
2. Amirkhani, L., Moghaddas, J. and Jafarizadeh-Malmiri, H., 2019. Optimization of biodiesel production using immobilized *Candida rugosa* lipase on magnetic Fe<sub>3</sub>O<sub>4</sub>-silica aerogel, *Iranian Journal of Chemistry and Chemical Engineering*, 38(2), pp.193-201.
3. Amirkhani, L., Moghaddas, J. and Jafarizadeh-Malmiri, H., 2016. *Candida rugosa* lipase immobilization on

**۴- نتیجه گیری**  
استفاده از آنزیم‌ها به عنوان بیوکاتالیست یکی از روش‌های مهم در صنایع غذایی، برای آماده‌سازی یا تیمار محصولات است. در هر حال بیشتر آنزیم‌های طبیعی انتخاب پذیری و واکنش‌پذیری بالا را فقط تحت شرایط نرمال نشان می‌دهند. تحت دماهای بالا و pH های در محدوده اسیدی و یا قلیایی، آنزیم‌ها به راحتی به دلیل تغییر ماهیت دادن غیر فعال می‌شوند. آنزیم‌ها بر این مشکلات و امکان استفاده از آنزیم‌ها در فرایندهای پیوسته و تجاری به منظور استفاده مکرر و چند باره از آنزیم‌ها به علت قیمت بالای آن‌ها، از روش تثیت آنزیم استفاده می‌شود. تثیت آنزیم‌ها در یک حامل غیر قابل حل در آب، یک روش بیولوژیکی برای افزایش کاربردهای آنزیم در روش‌های پیوسته و استفاده‌های تجاری و در مقیاس بالا است. روش‌های مختلفی برای تثیت آنزیم‌ها وجود دارد. در بین روش‌های تثیت آنزیم، جذب سطحی فیزیکی، به دلیل قیمت نسبتاً پایین، سادگی، سرعت و باقی‌ماندن فعالیت کاتالیستی بالا و قابلیت استفاده مجدد حامل‌های گران‌قیمت بعد از غیر فعال شدن آنزیم‌های تثیت‌شده، پتانسیل اقتصادی بالاتری را در مقایسه با سایر روش‌ها دارد. در این تحقیق آنزیم پکتیناز که یکی از آنزیم‌های پرکاربرد در صنایع غذایی و خصوصاً صنعت تولید آب میوه است بر روی پایه‌های متخلخل سیلیکا آثروژل به روش جذب سطحی تثیت و تعیین خواص گردید. جهت یافتن شرایط بهینه برای تثیت آنزیم پکتیناز، تاثیر پارامترهایی چون زمان تثیت، نسبت آنزیم به پایه و pH در بازده تثیت،

- interactions between the enzyme and the gel. *Journal of Non-Crystalline Solids*, 350(0), pp. 23-30.
13. Fernández, K., Vega, M. and Aspé, E., 2015. An enzymatic extraction of proanthocyanidins from País grape seeds and skins. *Food Chemistry*, 168, pp.7-13.
  14. Garg, G., Singh, A., Kaur, A., Singh, R., Kaur, J. and Mahajan, R., 2016. Microbial pectinases: an ecofriendly tool of nature for industries. *3 Biotech*, 6, p.47.
  15. Gesser, H.D. and Goswami P.C. 1989. Aerogels and Related Porous Materials. *Chemical Review*, 89, pp. 765-788.
  16. Ghandahari Yazdi, A.P., Barzegar, M. Sahari M.A. and Ahmadi Gavighi, H., 2018. Optimization of the enzyme-assisted aqueous extraction of phenolic compounds from pistachio green hull. *Food Science & Nutrition*, 7, pp. 356-366.
  17. Husing, N. and Schubert, U., 2005. *Aerogels*. Wiley.
  18. Karout, A., Chopard, C. and Pierre, A.C., 2007. Immobilization of a lipoxygenase in silica gels for application in aqueous media. *Journal of Molecular Catalysis B: Enzymatic*, 44(3-4), pp. 117-127.
  19. Lee, C.-H., Lin, T.-S. and Mou, C.-Y., 2009. Mesoporous materials for encapsulating enzymes. *Nano Today*, 4, pp. 165-179.
  20. Leventis, N. and Koebel, M. M., 2011. *Aerogels Handbook*. Springer.
  21. Li, T., Wang, N. Li, S., Zhao, Q., Guo M. and Zhang, C., 2007. Optimization of covalent immobilization of pectinase on sodium alginate support. *Biotechnology Letters*, 29(9), pp. 1413-1416.
  22. Maury, S., Buisson, P., Perrard, A. and Pierre, A.C., 2005. Compared esterification kinetics of the lipase from Burkholderia cepacia either free or encapsulated in a silica aerogel. *Journal of Molecular Catalysis B: Enzymatic*, 32(5-6), pp. 193-203.
  23. magnetic silica aerogel nanodispersion. *RSC Advances*, 6, pp.12676-12687.
  4. Bangi, U.K.H., Rao, A.V. and Rao, A.P., 2008. A new route for preparation of sodium-silicate-based hydrophobic silica aerogels via ambient-pressure drying. *Science and technology of advanced materials*, 9, p. 035006.
  5. Brena, B., González-Pombo, P. and Batista-Viera, F., 2013. Immobilization of Enzymes: A Literature Survey. *Immobilization of Enzymes and Cells*, 1051, pp.15-31.
  6. Buisson, P., Hernandez, C., Pierre M. and Pierre A.C., 2001. Encapsulation of lipases in aerogels. *Journal of Non-Crystalline Solids*, 285(1-3), pp.295-302.
  7. Buisson, P. and Pierre A.C., 2006. Immobilization in quartz fiber felt reinforced silica aerogel improves the activity of *Candida rugosa* lipase in organic solvents. *Journal of Molecular Catalysis B: Enzymatic*, 39(1-4), pp. 77-82.
  8. Chamorro, S., Viveros, A., Alvarez, I., Vega, E. and Brenes, A., 2012. Changes in polyphenol and polysaccharide content of grape seed extract and grape pomace after enzymatic treatment. *Food Chemistry*, 133, pp. 308–314.
  9. Dal Magro, L., de Moura, K.S., Backes, B.E., de Menezes, E.W., Benvenutti, E.V. and Nicolodi, S. et al., 2019. Immobilization of pectinase on chitosan-magnetic particles: Influence of particle preparation protocol on enzyme properties for fruit juice clarification. *Biotechnology Reports*, 24, e00373.
  10. Delcheva, G., Pishtyiski, I., Dobrev, G. and Krusteva S., 2007. Immobilization of *Aspergillus niger* Pectinase on Polyacrylonitrile Copolymer Membrane. *Trends in Applied Sciences Research*, 2, pp. 419-425.
  11. Dorcheh, A.S. and Abbasi M.H., 2008. Silica aerogel: synthesis, properties and characterization. *Journal of materials processing technology*, 199, pp. 10-26.
  12. El Rassy, H., Maury, S., Buisson, P. and Pierre, A.C., 2004. Hydrophobic silica aerogel-lipase biocatalysts: Possible

- 57
26. Tambuk, P., Tomaskovic, D., Tomaz, I., Maslov, L., Stupic, D. and Kontic, J.K., 2016. Application of pectinases for recovery of grape seeds phenolics. *3 Biotech*, 6, p. 224.
  27. Zahedi, M., Memar Maher, B., Anarjan, N. and Hamishehkar, H., 2021. Investigation the synergistic effects of licorice, garlic and fennel essential oils Microemulsions as natural antioxidant and antibacterial agents. *Food Hygiene*, 11, pp. 23-36.
  28. Zdarta, J., Meyer, A.S., Jesionowski, T. and Pinelo, M., 2018. A general overview of support materials for enzyme immobilization: characteristics, properties, practical utility. *Catalysts*, 8(3), p. 92.
  23. Mohammadi, M., Khakbaz Heshmati, M., Sarabandi, K., Fathi, M., Lim, L.-T. and Hamishehkar, H., 2019. Activated alginate-montmorillonite beads as an efficient carrier for pectinase immobilization. *International Journal of Biological Macromolecules*, 137, pp.253-260.
  24. Orcaire, O., Buisson, P. and Pierre, A.C., 2006. Application of silica aerogel encapsulated lipases in the synthesis of biodiesel by transesterification reactions. *Journal of Molecular Catalysis B: Enzymatic*, 42(3-4), pp. 106-113.
  25. Ramirez, H. L., Briones, A.I., Úbeda, J. and Arevalo, M., 2013. Immobilization of pectinase by adsorption on an alginate-coated chitin support. *Biotecnología Aplicada*, 30, pp.101-104.

(Original Research Paper)

## Optimization of Pectinase Enzyme Immobilization on Silica Aerogel and Its Application in the Extraction of Phenolic Compounds of Grape Pomace

Ismaeil Faramarzi Agh Gonbad<sup>1</sup>, Leila Amirkhani<sup>2\*</sup>, Seyyed Mahdi Hedayat Zadeh<sup>3</sup>, Fahimeh Derakhshan Fard<sup>2</sup>

1-Ph.D Student of Chemical Engineering, Ahar Branch, Islamic Azad University, Ahar, Iran.  
2- Assistant Professor, Department of Chemical Engineering, Ahar Branch, Islamic Azad University, Ahar, Iran.

3-Assistant Professor, Department of Chemical Engineering, Ilkhchi Branch, Islamic Azad University, Ilkhchi, Iran.

Received:02/01/2022

Accepted:11/03/2022

### Abstract

One of the commercial applications of the pectinase enzyme is pectinization and clarification of fruit juices and extraction of phenolic compounds from the fruits. Pectinase immobilization is one of the stabilization methods that makes it possible to separate the enzyme from the reaction and reuse it, thus reducing the cost of using the enzyme in the industry. In this study, the pectinase enzyme from *Aspergillus niger* was immobilized on hydrophilic silica aerogel by the adsorption method. Adsorption involves hydrogen, hydrophobic, and van der Waals interactions between solid carriers and adsorbed molecules, and due to their simplicity, high catalytic activity, and reusability of carriers after inactivation of immobilized enzymes, has higher economic potential, compared to other immobilization methods. Properties of silica aerogel containing pectinase were determined by Fourier Transform Infrared Spectroscopy (FTIR) and Field Emission Scanning Electron Microscope (FESEM) analysis. Effective parameters in enzyme immobilization (immobilization time, enzyme to support ratio, and pH) were studied using the Response Surface Methodology (RSM) and the application of immobilized enzyme in the extraction of phenolic compounds from the grape pomace was investigated. Results obtained from properties analysis and measurement of immobilization efficiency showed effective immobilization of the enzyme on the silica aerogel supports. Optimal conditions for immobilization were obtained at pH 5, enzyme to support ratio of 0.1, and time of 89.2 minutes. The immobilization efficiency in these conditions was 78.1%. Experimental results and modeling were not significantly different, which showed the adequacy of the model. Extraction of phenolic compounds from the grape pomace by pectinase immobilized on silica aerogel supports, increased by 78.7% and free radical scavenging by 55.7%, compared to the case without enzymatic treatment.

**Keywords:** Enzyme Immobilization, Pectinase, Silica Aerogel, Grape Pomace, Phenolic Compounds.

\*Corresponding Author: [l-amirkhani@iau-ahar.ac.ir](mailto:l-amirkhani@iau-ahar.ac.ir)